

ウィスカーフ复合セラミックスの現状と課題

趙 源丞* / 林 宏爾*²

Won-seung CHO / Koji HAYASHI

Recent Trend and Problems of Whisker Reinforced Composite Ceramics

1 緒言

アルミナ (Al_2O_3)、ジルコニア (ZrO_2)、窒化ケイ素 (Si_3N_4)、炭化ケイ素 (SiC)などの構造用セラミックスは、強度、硬度、耐熱性、耐摩耗性、耐食性、弾性係数などの諸特性に一般に優れ、各種の耐熱構造部品、切削工具、耐摩耗・耐食部品などに応用されている。しかし、その破壊靭性 (K_{IC}) は一般に $2\text{-}10 \text{ MPam}^{1/2}$ の範囲にあり、金属材料の数 $10\text{-}200 \text{ MPam}^{1/2}$ の 1-20% 程度しかない。すなわち、セラミックスは著しく脆いため、現状では応用が限られている。靭性ならびに強度を改善する方法として、一般に異種のセラミックスのウィスカーフ複合セラミックス (Whisker Reinforced Ceramic; 以下 WRC と略記) は、纖維複合セラミックスと異なり粉末冶金法を用いて作製することができると共に、粒子複合セラミックスよりも一般に高い靭性が期待できることから、約 10 年前から活発に研究されてきている。

本稿では、まずウィスカーフの種類と性質および WRC の作製法とその注意点について簡述し、次に各種の WRC の靭性ならびに強度などの機械的特性と用途などにおける現状ならびに課題について述べる。

2 ウィスカーフの種類と性質

ウィスカーフの作製の研究は 1940 年頃から始められ、1952 年にはその強度が完全結晶の理論値に近いことが見出された¹⁾。ウィスカーフとは「直径が $250 \mu\text{m}$ 以下で、アスペクト比が 10 以上の単結晶」²⁾であるとする例もあるが、通常は針状単結晶を指す。各種のウィスカーフ作製技術が確立されているが、現在、市販または試作されているセラミックス強化用のウィスカーフの種類としては、 SiC (α , β 型), Si_3N_4 (α ,

β 型), Al_2O_3 (α 型)などがある。Table 1³⁾には主なウィスカーフについて、引張り強さ、ヤング率、密度、融点などの性質例を示すが、高い引張り強さを示すのが特徴である。良く用いられるものは、 1600°C (不活性ガス中) まで安定な β 型の SiC ウィスカーフ (以後、 $\beta\text{-SiC}$ (w) と略記) である。その直径は $0.05\text{-}10 \mu\text{m}$ 、長さは $5\text{-}10,000 \mu\text{m}$ であり³⁾、作製法としては、(1)シリカの C による還元と炭化、(2)有機ケイ素化合物の熱分解、(3)ハロゲン化ケイ素と炭化水素との反応、(4)金属ケイ素の炭化などがある⁴⁾。

SiC (w) の中心部には $1\text{-}20 \text{ nm}$ の空洞が密集している場合があり、これによって WRC の作製中ウィスカーフが折損しやすい⁵⁾。 SiC (w) の有害性が報告⁶⁾されており、その取扱いには十分な注意を要するが、平均径が $2 \mu\text{m}$ 以上、アスペクト比が 10 以上ならば危険性が少なくなるとする報告⁷⁾もある。

3 ウィスカーフ複合セラミックス (WRC) の作製法とその注意点

WRC の作製は、ウィスカーフ粉末をマトリックス粉末と共に分散媒液中に入れ、機械的攪拌または超音波処理などにより混合し、その後、分散媒液を乾燥・除去した後、緻密化することによって行われる。緻密化法としては、ウィスカーフ無添加のセラミックスの場合は常圧焼結法またはガス加圧焼結法が一般に用いられるのに対し、WRC の場合は、ウィスカーフの存在により緻密化が妨げられることから、主としてホットプレス法が用いられる⁸⁾。Fig. 1 には SiC (w)/

Table 1. Kinds of whisker and their properties³⁾.

Whisker	Tensile Strength (GPa)	Young's Modulus (GPa)	Density (g/cm ³)	Melting or softening point (°C)
$\alpha\text{-Al}_2\text{O}_3$	20	450	3.96	2040
Beryllia	13	350	2.85	2570
B_4C	14	490	2.52	2450
Graphite	19	700	2.00	>3900
$\beta\text{-SiC}$	21	490	3.18	2690
$\beta\text{-Si}_3\text{N}_4$	14	385	3.18	1900

平成 5 年 6 月 4 日受付 平成 5 年 9 月 10 日受理 (Received on June 4, 1993; Accepted on Sep. 10, 1993) (依頼解説)

* 東京大学生産技術研究所助手 (Institute of Industrial Science, The University of Tokyo, 7-22-1 Roppongi Minato-ku, Tokyo 106)

* 2 東京大学生産技術研究所教授 (Institute of Industrial Science, The University of Tokyo)

Key words : ceramics ; composite ceramics ; strength ; toughness ; whisker ; alumina ; silicon nitride ; mullite ; carbide ; boride ; silicide.

Si_3N_4 WRCホットプレス体の組織例を示す。ニアネットシェイプ焼結体の作製が可能な反応焼結法⁹⁾や常圧焼結法^{10)~19)}なども試みられてはいるが、前者によると、焼結体の相対密度は高々60%にしか達しない⁹⁾。後者により、約95%密度のものが得られている報告¹⁰⁾¹¹⁾¹⁵⁾もあるが、これらは、ウィスカーアの添加量やアスペクト比をいずれも小とし、焼結助剤量をかなり多くしたものである。

ウィスカーアをセラミックスの複合強化材として用いようとする場合、(1)複合により性質向上が理論的に期待できる組合せとすることはもちろんであるが、これと共に、(2)ウィスカーアの分散を均一とする、(3)作製中にウィスカーアの性能が劣化しない条件を選択することが重要である。まず、(1)については、ウィスカーアの強度がマトリックスのそれよりも大幅に大であることがまず第一であるが、この他、荷重伝達、クラックの屈曲、引抜き、橋架け、枝分れ、ピン止め、マイクロクラッキング、相変態などの強靭化機構^{20)~23)}が発現しうるか否かを考える必要がある。具体的には、所定寸法のウィスカーアの下では、ウィスカーア(w)とセラミックスマトリックス(M)との間の、弾性率(E)の差、界面強度、熱膨張係数(α)の差などを考慮する必要がある。Eについては、荷重伝達効果などが有効に働くためには、 E_w/E_M が2以上であることが望ましいとされる²⁰⁾。界面強度はマトリックスと粒界相(焼結助剤として添加される主として酸化物が、 Si_3N_4 粒子間に形成する相)との間の化学的結合力と熱膨張係数の差に基づく力学的結合力とによって決まるが、これが大きすぎると界面剥離が全く起こらないことからクラックの屈曲や引抜きによる強靭化機構が作用せず、逆に小さすぎると荷重伝達や橋架けの機構が作用しなくなることから、適度な界面強度により強靭化が達成し得る²⁴⁾と言われる。 α については、作製時の高温から室温まで冷却する際、 $\alpha_M > \alpha_w$ であるならば、界面の垂直方向に対して圧縮力が生じ界面強度が増大するが、 $\alpha_M < \alpha_w$ であるならば張力が発生し界面剥離も起こり得る²⁴⁾。

(2)の均一分散については、ウィスカーア作製時に生じた分枝²⁵⁾の存在や付着力によってウィスカーア同士が互いに絡み合う傾向があり、団子状の凝集体を形成しやすい。これが焼結体中に残ると、破壊の起源となって、強度低下をひきおこすと共に、ウィスカーアの分散が不均一となるため靭性



Fig. 1. Optical micrograph of $\text{SiC}(\text{w})/\text{Si}_3\text{N}_4$ WRC. White acicular grains are $\text{SiC}(\text{w})$. ($\times 600$)

も向上しにくい。そこで、通常、ウィスカーア+マトリックス粉+分散媒液からなるスラリーに対して、機械的攪拌または超音波処理などによって分散・混合する⁴⁾。機械的攪拌はヘンシルミキサー、ポールミルなどを用いる方法であり、ウィスカーアの折損が起こりやすいが、大量処理できる。超音波処理は超音波をスラリーに負荷する方法であり、ウィスカーアの折損は起こりにくいが、大量処理は難しい。

(3)については、WRCは一般にホットプレスにより作製されるため、(イ)ウィスカーア自身の熱的安定性、(ロ)マトリックスとの反応の有無、(ハ)ウィスカーアの機械的損傷などに注意する必要がある。ホットプレス温度を高く、時間を長くするほど、少量の焼結助剤と低い圧力で緻密化できるが、ウィスカーアの劣化(再結晶、分解、相変態、粒状化、マトリックスとの反応など)の可能性が高くなる。逆に、低温、短時間とすると、マトリックスが Si_3N_4 の場合は、強靭化に必要な $\alpha\text{-Si}_3\text{N}_4$ (等軸粒)から $\beta\text{-Si}_3\text{N}_4$ (針状粒)への相変態が十分に起こりにくくなる²⁶⁾。 $\text{Si}_3\text{N}_4(\text{w})/\text{Al}_2\text{O}_3$ WRCについては、ホットプレス温度を1800°Cの高温とすると、両者の反応により β -サイアロンが生成し $\text{Si}_3\text{N}_4(\text{w})$ は変質する²⁷⁾。Fe不純物は $\text{SiC}(\text{w})$ を劣化し²⁸⁾、 $\text{SiC}(\text{w})$ 表面の酸化量が多いとウィスカーア引抜き頻度が減少する²⁹⁾。 $\beta\text{-SiC}(\text{w})$ を1750~2000°C以上に加熱すると、 $\alpha\text{-SiC}$ へ変態すると共に粒状となる³⁰⁾。 $\alpha\text{-Si}_3\text{N}_4$ 粉に $\beta\text{-Si}_3\text{N}_4(\text{w})$ を添加し焼結すると、 $\alpha\text{-Si}_3\text{N}_4$ が液相へ溶解して、 $\beta\text{-Si}_3\text{N}_4(\text{w})$ 上へ析出するため、 $\beta\text{-Si}_3\text{N}_4(\text{w})$ に、凹凸が生じる³¹⁾。そして、粉末成形圧力やホットプレス圧力が高すぎるとウィスカーアが折損しやすい。

後述するように、原料としてウィスカーア粉を用いずに、焼結・緻密化時にin-situ的にウィスカーアを生成・複合(Chemical mixing)する方法^{32)~34)}も検討されている。この方法は、ウィスカーアの製造や取扱いが不要、ウィスカーアの均一分散が可能、ウィスカーアの作製時に必要な添加物⁴⁾が不要となるなどの長所を持ち、上記の(2)、(3)における問題を解決できる場合もある。しかし、ウィスカーアおよびマトリックスの組成の選択やウィスカーア量の制御が任意に行えないなどの短所がある。

4 各種のウィスカーア複合セラミックス

WRCのマトリックス材料としては、ガラスまたはガラスセラミックス、酸化物、炭化物、窒化物、ホウ化物、ケイ化物などが用いられているが、特に酸化物のアルミニナと非酸化物の窒化ケイ素が多く研究されている。ウィスカーアとしては既述のように主として $\beta\text{-SiC}(\text{w})$ が用いられているが、最近は、 $\beta\text{-Si}_3\text{N}_4(\text{w})$ 、ムライト(w)、 $\text{Al}_2\text{O}_3(\text{w})$ の使用も試みられている。以下、各種のWRCの主として破壊靭性(K_{IC})と曲げ強さ(FS)などの機械的性質の測定例を

示す。 K_{IC} と FS のいずれも測定法によって値が大きく異なることから、以下の K_{IC} については、測定法³⁵⁾³⁶⁾が IF (Indentation Fracture) 法、DCB (Double Cantilever Beam) 法、CSF (Controlled Surface Flaw) 法、SENB (Single Edge Notched Beam) 法、SEPB (Single Edged Precracked Beam) 法、CN (Chevron Notch) 法のいずれであるか（測定値の大小関係は、試料の種類に依存するが、例えば、SENB > IF > CN > CSF³⁵⁾。SEPB と DCB については不明）、また FS については測定法が 3 点曲げか 4 点曲げのいずれであるか（3 点曲げ > 4 点曲げ）を必要に応じて明記した。そして、セラミックスの曲げ強さは、超硬合金やサーメットなどの硬質材料^{37)~39)}と同様に、破壊の起源となった組織的欠陥の寸法に依存する⁴⁰⁾が、多くの場合観察されておらず、その解釈には注意が必要である。

4・1 ガラスまたはガラスセラミックスマトリックス

ガラスまたはガラスを結晶化して得られるガラスセラミックス⁴¹⁾は、1970年代初期から、高弾性のグラファイト纖維や SiC 纖維などの複合により強度・靭性、耐熱性の向上などが試みられてきた⁴²⁾⁴³⁾が、1980年代中期以来は、量産技術が確立された β -SiC(w) も強化材として検討されてきている。ディオプサイト ($\text{CaO} \cdot \text{MgO} \cdot 2\text{SiO}_2$)、アノーサイト ($\text{CaO} \cdot \text{Al}_2\text{O}_3 \cdot 2\text{SiO}_2$) およびコーディエライト ($2\text{MgO} \cdot 2\text{Al}_2\text{O}_3 \cdot 5\text{SiO}_2$) に、SiC(w) を添加すると、いずれのマトリックスでも、FS(3 点曲げ) は、Fig. 2⁴⁴⁾に示すように、所定の SiC(w) 量で、無添加の場合に比べ約 2 倍となる。 K_{IC} (IF 法) も同じく約 2 倍となる。コーディエライトに、形態の異なる SiC すなわちウィスカ、粒子、プレイトを 30 vol% 添加したもののが K_{IC} (IF 法) は、無添加の約 $1.9\text{ MPam}^{1/2}$ に対しそれぞれ約 3.4, 2.6, 2.8 $\text{MPam}^{1/2}$ となり、ウィスカ添加の場合に最大となる。FS も、粒子添加の場合に及ばないものの、170 から 240 MPa (4 点曲げ) へ向上する⁴⁵⁾。SiC(w) / ディオプサイト WRC は、SiC(w) 径の増大 (0.5 → 1.1 μm) および SiC(w) へのカーボン被覆により K_{IC} は上昇するが、FS は、同被覆により減少する⁴⁶⁾。そして、SiC(w) / コーディエライト WRC の K_{IC} は SiC(w) 径および被覆によって影響されないが、FS は、SiC(w) 径の増大により減少し、被覆による強度変化は見られない⁴⁶⁾。

SiO_2 ガラスマトリックスの K_{IC} (IF 法) は、 SiO_2 酸化被膜を形成処理した β -Si₃N₄ (w) の添加により、モノリスの約 2 倍の約 $1.4\text{ MPam}^{1/2}$ へ向上するが、被膜形成処理しない

β -Si₃N₄ (w) の添加では若干低下する⁴⁷⁾。この他、 α -Si₃N₄ (w) / ホウケイ酸塩ガラス WRC は、ガラス・モノリスと異なり、約 187°C 付近で、クリストバライドの生成に基づき、熱膨張係数が急激に増大する⁴⁸⁾。

Table 2⁴⁹⁾ に示すような SiC(w) / SiO₂ WRC が、フランスの Desmarquest 社により、自動車のエキゾースト・マニホールドのライナ材として開発されている。

4・2 酸化物マトリックス

4・2・1 アルミナ (Al_2O_3)

SiC(w) / Al_2O_3 WRC は、1984 年の Becher らの研究⁵⁰⁾以来、現在に至るまで活発な研究が行われてきている。Fig. 3⁵¹⁾ に示すように、SiC(w) の複合により K_{IC} (IF と CN 法) は約 4 から約 8 $\text{MPam}^{1/2}$ へ、FS (3 点曲げ) は 450 から 700 MPa へといずれも大幅に向上する。高温クリープ特性は SiC(w) 添加により大きく改善⁵²⁾され、耐熱衝撃性も著しく向上する (FS が変化しない急冷温度差 ; 127°C → 627°C)⁵³⁾。ただし、空気中では 1300°C 以上で SiC(w) が酸化する⁵⁴⁾。常圧焼結法についても検討^{12)~17)}されており、ミル粉碎によってアスペクト比を減少させると、10 vol% 以下では 95% 以上の相対密度となり、10 vol% SiC(w) / Al_2O_3 常圧焼結体については、FS (4 点曲げ) は 330 MPa と低いが、6~7 $\text{MPam}^{1/2}$ の高い K_{IC} (DCB 法) が得られる。 Al_2O_3 - 30 vol% ガラスは、15~20 vol% の SiC(w) 添加により K_{IC} (SENB 法) は約 22~41%，FS (3 点曲げ) は約 96~62% 向上する⁵⁵⁾。

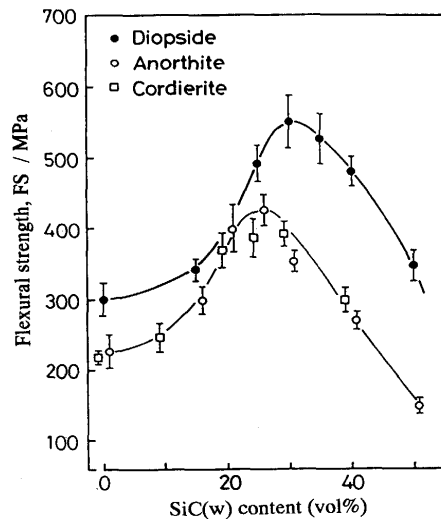


Fig. 2. Room temperature flexural strength (FS; 3-point bending test) of SiC(w)/glass whisker reinforced composite ceramics (WRC) as a function of SiC(w) content⁴⁴⁾.

Table 2. Characteristics of SiC(w)/SiO₂ WRC which was developed by French company for the liner of exhaust manifold of automobile⁴⁹⁾.

	M.P. (°C)	Maximum usable temp. (°C)	Relative density (%)	FS(MPa)		Fracture toughness (MPam ^{1/2})	Weibull modulus	Resistance to thermal shock
				20°C	800°C			
SiO ₂	1710	1200	92	75	90	0.6	10	excellent
SiC(w)/SiO ₂	1710	1200	90	75	90	1.4	15	excellent

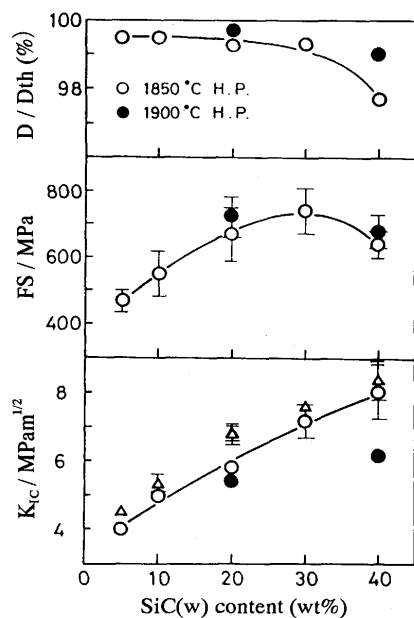


Fig. 3. Relative density(D/D_{th}), FS(3 point bending test) and fracture toughness(K_{IC}) of $\text{SiC(w)}/\text{Al}_2\text{O}_3$ WRC as a function of SiC(w) content. WRC were hot-pressed at 1850°C and 1900°C. ○ and ● in K_{IC} data denote values measured by IF method, and △ denotes values by CN method⁵¹⁾.

SiC(w) の代わりに $\beta\text{-Si}_3\text{N}_4(\text{w})$ を添加した Al_2O_3 WRC⁵⁶⁾の K_{IC} (IF法)は、最大4.7 $\text{MPam}^{1/2}$ 、FS(3点曲げ)は610 MPaとなり、1100–1300°Cでの高温FSは室温FSの70%の値を示す。しかし、これらの $\text{Si}_3\text{N}_4(\text{w})$ の添加効果は SiC(w) 添加効果には及ばない。 $\text{SiC(w)}/\text{Al}_2\text{O}_3$ WRCにさらに4 wt%のTiC粒子を分散させることにより、 K_{IC} (IF法)は6.5から7.5 $\text{MPam}^{1/2}$ へ、室温のFS(3点曲げ)は700から1200 MPaへ上昇し、高温FSも、 Al_2O_3 単体に比べ約2倍となる⁵⁷⁾。

現在、 $\text{SiC(w)}/\text{Al}_2\text{O}_3$ WRCは、Ni基超合金の切削工具材料として用いられており、Fig. 4⁵⁸⁾に示すように、工具寿命は、現用の超硬合金工具に比べはるかに長く、サイアロン工具と比べても高切削速度域では工具寿命が約2~5倍となるなどのメリットがある⁵⁸⁾⁵⁹⁾。ただし、1045と4340鋼などの鉄鋼材料の切削では、サイアロンより性能が劣る⁵⁸⁾⁵⁹⁾。

4・2・2 ムライト ($3\text{Al}_2\text{O}_3 \cdot 2\text{SiO}_2$)

ムライトは、(1) Al_2O_3 や ZrO_2 などに比べ、低い熱膨張係数(それぞれ 5×10^{-6} , 8×10^{-6} , $10 \times 10^{-6}/\text{K}$)を持っており、相対的に耐熱衝撃性が優れ、また、高温まで強度の低下が少ないので、(2) Si_3N_4 や SiC に比べ安価、(3)大気中で酸化しないなどの長所を持っている⁶⁰⁾⁶¹⁾。そこで、高温構造用材料として注目されているが、室温での K_{IC} は、約2~3 $\text{MPam}^{1/2}$ と低い。そこで、 SiC(w) などの添加による強靭化が試みられている。Table 3に従来の結果^{18)60)~66)}をまとめたものを示す。例えば、 SiC(w) 添加により、 K_{IC} (IF法)は2.5 $\text{MPam}^{1/2}$ から最大3.6 $\text{MPam}^{1/2}$ へと向上し、FS(3点曲げ)は単体の190 MPaから最大390 MPaへ向上する⁶⁰⁾。20

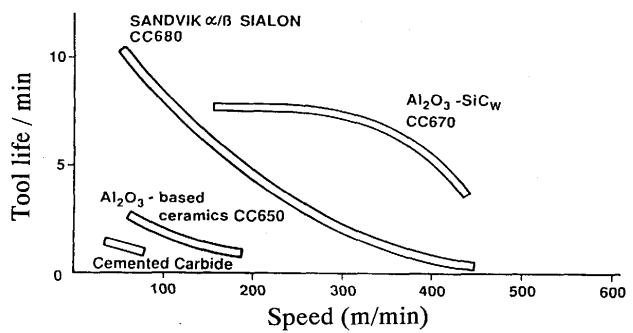


Fig. 4. Comparison of the machining performance of various tool materials in cutting Inconel 718 Ni-alloy(Feed, 0.2mm/rev.; depth of cut, 2mm)⁵⁸⁾. SiC(w) content is 25wt%.

vol%の添加により、 K_{IC} (DCB法)が $2.3\text{MPam}^{1/2}$ から $4.7\text{MPam}^{1/2}$ へ向上したとする報告もある⁶²⁾。

ZrO_2 粒子を分散(5 vol%)させたムライトに、 SiC(w) を添加すると、 $5.6\text{MPam}^{1/2}$ の K_{IC} (DCB法)が得られる⁶²⁾。Fig. 5⁶³⁾に示すように、ムライトの800°Cでの K_{IC} (DCB法)は、 SiC(w) の添加により2.4倍の値へ向上するが、 SiC(w) の他にさらに单斜晶 ZrO_2 を添加することにより約3.1倍、正方晶 ZrO_2 へ相変態させることにより約5.1倍の値へ向上する。これらは、ウイスカーの強靭化機構の他に、それぞれマイクロクラッキングと相変態の強靭化機構が加わる(Multiple toughening)ことによる。アルコキシド法を用いて作製された高純度のムライトおよびムライト-ZrO₂については、 SiC(w) 添加により K_{IC} と室温FSは、いずれも上昇する⁶⁴⁾が、高温FS(1300°C)は低下する⁶¹⁾。 SiC(w) 添加によりムライトは粒成長が抑制され⁶¹⁾微粒となることから、 K_{IC} やFSに対する影響もあると考えられる。

SiC(w) の代わりに $\beta\text{-Si}_3\text{N}_4(\text{w})$ をムライトに添加(10 vol%)すると、 K_{IC} (SEPB法)は $1.3\text{MPam}^{1/2}$ から $3.4\text{MPam}^{1/2}$ へ、FS(3点曲げ)は540 MPaから630 MPaへ上昇する⁶⁶⁾。同じムライトのウイスカーを添加すると、 K_{IC} は

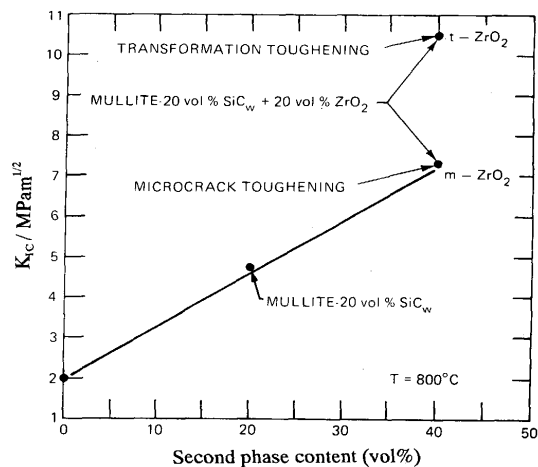


Fig. 5. Effect of addition of 20 vol% monoclinic ZrO_2 on the K_{IC} (DCB method) of 20 vol% SiC(w) /mullite WRC. Tetragonal ZrO_2 was obtained by heating samples to 1130°C⁶³⁾.

1.3から2.6MPam^{1/2}へ上昇する(Self toughening)ものの、FSは540MPaから450MPaへ低下したとする報告がある⁶⁶⁾。すなわち、ムライト(w)の添加効果はSiC(w)やSi₃N₄(w)のそれに比べて劣るようである。しかし、ムライト-25vol%正方晶ZrO₂多結晶(Y₂O₃添加のTZP、後述)のK_{IC}は4.0MPam^{1/2}であるが、ムライト(w)の添加により5.1MPam^{1/2}の高い値へ向上したとする報告⁶⁷⁾もある。機械的性質以外の特性としては、SiC(w)/ムライトWRCの熱伝導度⁶⁸⁾、酸化⁶⁹⁾⁷⁰⁾などが調べられている。

4・2・3 ジルコニア(ZrO₂)

ZrO₂⁷¹⁾は正方晶→单斜晶への相変態に伴って約4.6%体積膨張し、焼結後の冷却過程で破壊してしまうため、WRCのマトリックス材となりうるのは、CaO、MgO、Y₂O₃などを7-10%ほど固溶させ、すべての温度範囲で立方晶とした安定化ZrO₂(FSZ)、少量のMgOやCaOを添加し、立方晶と準安定な正方晶の2相とした部分安定化ZrO₂(PSZ)、およびY₂O₃やCeOを添加して結晶粒を0.3μm以下とし、準安定状態の正方晶のみとした正方晶ZrO₂多結晶体(TZP)の3種であるが、TZPが主として用いられている。

SiC(w)/TZP(3 mol% Y₂O₃含有)WRC中のSiC(w)は、1450°C、0.6ksのホットプレス中には安定であるが、大気中加熱(1030°C × 432ks)により酸化し、これに伴ってガラスが生成すると共に、正方晶の单斜晶への相変態に基づいて微視亀裂が生じる⁷²⁾。Fig. 6⁷²⁾に示すようにSiC(w)量と共にK_{IC}(IF法)は1.6倍ほど上昇し、FS(4点曲げ)は逆にかなり減少するが、Fig. 7⁷²⁾に示すように高温FS(1000°C)

は、モノリスに比べ約4倍となる。他報文⁷³⁾では、K_{IC}と室温FSについては同様の結果が得られているが、高温FSの向上は認められていない。炭素含有雰囲気中で焼結したSiC(w)/TZPは空気中での加熱により、約800°C⁷³⁾～900°C⁷²⁾付近から膨張が起こる。これは、焼結体の酸素量が化学量論値以下となっていることから、加熱中に化学量論値に近づくためと考えられている。SiC(w)の添加により、電導体となる(SiCの電気抵抗は1.1-2.0×10²Ω・cm、TZPは10¹⁰Ω・cm以上⁷⁴⁾)ことから、放電加工が可能となる⁷³⁾。

TZPにα-Al₂O₃(w)を添加すると⁷⁵⁾、K_{IC}(IF法)は3.9MPam^{1/2}から5.5MPam^{1/2}へ約1.4倍ほど向上し、室温FS(3点曲げ)は約940MPaから最大1180MPaまで約1.3倍向上する。しかし、1000°C～1100°CでのFSについては、添加効果は認められなくなり、ほぼ同じ300MPaとなる。α-Al₂O₃(w)添加効果は、SiC(w)添加効果に比べてK_{IC}と高温FSについては小さいが、室温FSについては大きい⁷⁵⁾。

5 vol%SiC(w)/Y₂O₃安定化ZrO₂WRCは、Ar-33%CO雰囲気中、1550°C × 3.6ksの常圧焼結により、相対密度が約97%となる¹⁹⁾。Y₂O₃添加TZPにムライト(w)を15vol%添加すると、K_{IC}が約50%向上する⁷⁶⁾。ジルコン(ZrSiO₄)にSiC(w)(20vol%)とSiCフィラメント(φ: 142μm, 25vol%)を同時添加した複合体(Hybrid composite)のK_{IC}およびFSは、ジルコン単体およびSiC(w)/ジルコンWRCに比べて優れる⁷⁷⁾。

4・3 炭化物マトリックス

炭化物は一般に高融点、高硬度であり、電気抵抗が低い

Table 3. Sintering conditions and mechanical properties of whisker/mullite WRC.

Whisker type	Dia. (μm)	Content (wt/vol%)	Additive	Sintering condition (Temp., °C)	Flexural strength(MPa) (M*→C**)	Size of fracture source (M→C)(μm)	Fracture toughness (MPam ^{1/2}) (M→C)	Year	Ref.
β -SiC(w)	0.6	15wt%	—	HP##(1700,1hr)	↑ (186→298) 3#	?	? (? →3.5) IF ⁺ ↑ (2.45→3.6) ? (2.45→ ?)	1985	60)
	"	30wt%		"	↑ (186→386)				
	"	40wt%		"	↑ (186→249)				
	0.1～0.5	30wt%		HP(1600,1hr)	↑ (201→329)				
β -SiC(w)	0.4	20vol% 20vol%	5vol%ZrO ₂	HP(1500～1850)	?	?	↑ (2.3→4.7) DCB ⁺ ↑ (" →5.6)	1986	62)
β -SiC(w)	?	20vol% 20vol% 20vol%	20vol%ZrO ₂ ^m 20vol%ZrO ₂ ^t	HP(1450,1hr)	?	?	↑ (2.0→4.5) 800°C ↑ (" →7.3) DCB ↑ (" →10.5)	1987	63)
α -SiC(w)	?	30wt% 30wt% 30wt%	(Stabilizer) 1.5wt%Y ₂ O ₃ 2.2wt%MgO	HP(?)	↑ { (140→330) → (350-530) } 4# ↑ (410→696) ↑ (470→610)	?	↑ (2.3→4.7) IF ↑ (4.0→6.2) ↑ (3.8→5.3)	1988	64)
β -SiC(w)	0.05-1.5	10-40vol%	—	HP(1500, 1550, 1.5hr)	↑ (450→600) 3 (20vol%SiC(w))	?	↑ (2.1→2.7) CN ⁺ (20vol%SiC(w))	1989	61)
α -SiC(w) β -SiC(w)	0.3 0.05-0.2	10vol% 10vol%	—	Pressureless Sintered (1730, 3hr)	↑ (191→247) 3 ↑ (" →261)	?	↑ (1.8→2.7) CN ↑ (" →2.3)	1989	18)
β -Si ₃ N ₄ (w)	1.0	10-50vol%	—	HP(1500-1650, 0.5hr)	↑ (350→630) 3 (40vol%Si ₃ N ₄)	?	↑ (1.6→4.1) IF (40vol%Si ₃ N ₄ (w))	1991	65)
β -Si ₃ N ₄ (w) mullite(w)	0.4 0.5	10vol% 10vol%	—	HP(1500,1hr)	↑ (540→630) 3 ↓ (" →430)	?	↑ (1.3→3.4) SEPB ⁺ ↑ (" →2.6)	1991	66)

^mmonoclinic ZrO₂, ^ttetragonal ZrO₂, *monolith, **ceramic composite, #3 or 4 point bending test, ##hot-pressing, ⁺IF, DCB, CN and SEPB mean the indentation fracture, double cantilever beam, chevron notched and single edged precracked beam method, respectively.

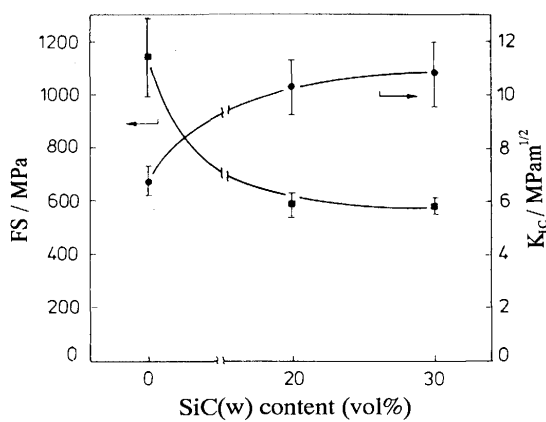


Fig. 6. FS(4 point bending test) and K_{Ic} (IF method) of SiC(w)/TZP WRC as a function of SiC(w) content⁷²⁾.

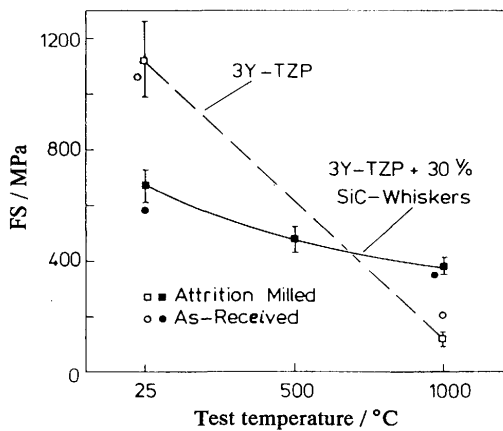


Fig. 7. Room and high temperature FS(4 point bending test) of TZP with and without SiC whisker reinforcement⁷²⁾.

などの特徴を持っているが、この系についてウィスカーアーを添加した報告は少なく、マトリックスとしてもSiC、TiCおよびNbCに限られている。

SiC(w)/SiC WRCの常圧焼結特性については、例えば、相対密度が90%以上の焼結体が得られるSiC(w)量は、平均長さが8.2~11μmの場合、10vol%までである⁷⁸⁾。SiC(w)量と共に同焼結体の K_{Ic} (IF法)は上昇し、例えばSiC(w)長さが11μmの場合、3.0から6.0MPam^{1/2}へ向上するが、FS(3点曲げ)は低下する。

TiCについては、Fig. 8⁷⁹⁾に示すように10vol%のSiC(w)添加により、 K_{Ic} (SENB法)は約3.8から6.0MPam^{1/2}へ、FS(3点曲げ)は約550から690MPaへと上昇する。NbC⁸⁰⁾についても、SiC(w)添加により、 K_{Ic} は4.7から5.7MPam^{1/2}へ、FSは530から880MPaへ向上する。その高靭化機構は、クラックのピン止めや分岐、屈曲効果によるとされている⁷⁹⁾⁸⁰⁾、実際には、ムライトの場合⁶¹⁾と同様、SiC(w)添加による粗粒→微粒への組織変化(30vol%の添加の場合、TiCの平均粒径は、5から2μm⁷⁹⁾へ、NbCのそれは7から3μm⁸⁰⁾へと減少)もかなり寄与していると思われる。

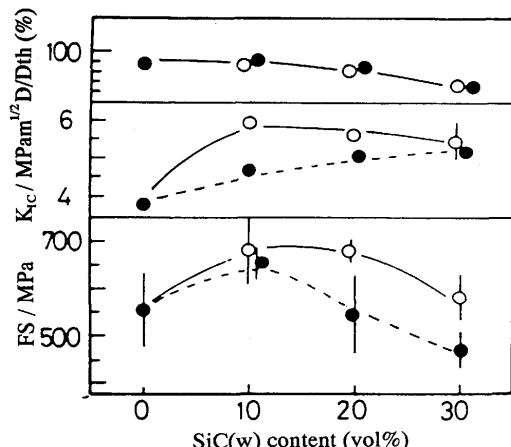


Fig. 8. D/Dth, FS(3 point bending test) and K_{Ic} (SENB method) of SiC(w)/TiC WRC as a function of SiC(w) content. Hot-pressed at 1900°C for 1.5h(○) and at 1850°C for 1h(●)⁷⁹⁾.

4・4 窒化物マトリックス

窒化物モノリスについては、 Si_3N_4 に関する研究が最も多く、次世代の高温構造材料として1950年代から注目されているが、SiC(w)添加効果の研究は約10年前から始められている⁸⁾。その初期においては、WRCの作製法や K_{Ic} の評価法などの研究が活発になされ⁸⁾⁸¹⁾⁸²⁾、最近では、高靭化の機構の究明、微構造制御などが行われている⁸³⁾。Table 4には、関連報文^{8)81)82)84)~91)}におけるSiC(w)/ Si_3N_4 WRCの K_{Ic} とFSなどをまとめて示すが、いずれも、SiC(w)添加によって上昇する場合や減少する場合などがあってその効果が報文ごとに大きく異なることが注目される。これらの相違が生じる原因は、各報文とも(1)焼結助剤または粒界相の種類や量、(2)マトリックスの Si_3N_4 粒の形状、寸法、(3)破壊の起源の寸法などが一般に記述されておらず、不明である。著者らは、これら(1)~(3)を考慮した一連の研究^{92)~97)}を行い、例えば、Fig. 9⁹⁶⁾に示すように、SiC(w)面内無秩序試料(W_R)と一方向配向試料(W_L)のいずれについても高い K_{Ic} (CSF法)およびFS(3点曲げ)を有するものを得ている。しかし、現在の所、SiC(w)を添加させることにより、強度かつ靭性を共に向上させるという真の意味での強靭化は、達成されていないと言える。

SiC(w)の代わりに、最近では、 β - Si_3N_4 (w)の添加^{31)98)~100)}(Self toughening)も試みられている。SiC(w)添加の場合と同様に、 K_{Ic} は上昇するが、FSは低下することもあり、またFSの面ではSiC(w)添加の場合に比べて劣る。

ガス加圧焼結法(10気圧下)によって高密度のものを得るには、焼結助剤として $Y_2O_3+La_2O_3$ を用いた場合、SiC(w)の添加量が10, 20wt%では、それぞれ20, 30mol%の助剤量が必要となる¹⁰⁾。室温と高温(1200°C)でのFSは10wt%添加でそれぞれ600, 540MPaを示す。SiC(w)の長軸を一方向配向させるとWRCの緻密化促進に効果があり、SiC(w)添加限界量を増やすことが可能である¹⁰¹⁾。

Table 4. Sintering conditions and mechanical properties of SiC(w)/ Si_3N_4 WRC.

Diameter of SiC(w)	Content of SiC(w)	Sintering aids	Method of sintering (Temp., °C)	FS*** (MPa) [†] (M [‡] → C ^{‡‡})	Size of fracture source (μm) (M → C)	K _{IC} (MPam ^{1/2}) [‡] (M → C)	Year	Ref.
1.0	10~30wt%	5wt%MgO	HP* (1700~1800)	↓ (860→650) 3#	?	↓ (6.0→4.8) CSF##	1982	8)
0.5	10~50wt%	$\text{Y}_2\text{O}_3 + \text{La}_2\text{O}_3$ (0~20mol%)	HP (1800)	(610→620) 3	?	?	1984	81)
3~10	10~40vol%	5vol%MgO	HP (1600) HP (1750~1850)	↓ (400→360) 4# ↓ (670→530)	? (? → 150~250)	↑ (5.3→6.9) CN## ↑ (7.2→10.0)	1986	82)
0.53	10~30vol%	6wt% $\text{Y}_2\text{O}_3 +$ 1.5wt% Al_2O_3	HP (1800)	↓ (770→730) 4	?	↑ (4.6→5.0) CSF	1987	84)
0.5	10vol%	5wt% $\text{Y}_2\text{O}_3 +$ 5wt% MgAl_2O_4	HP** (1600)	? (720→ ?) 4	?	↑ (7.3→9.0) CN	1987	85)
0.1~0.5	10~20vol%	6wt% $\text{Y}_2\text{O}_3 +$ 2wt% Al_2O_3	Nitridation + HIP (1700)	↓ (900→550) 4	?	↓ (6.0→5.0) IF##	1987	86)
1.0	10~20wt%	3wt%MgO	HP (1720~1750)	↑ (370→500) 4	? (? → 50~120)	↑ (4.0→7.0) IF	1988	87)
0.5 1.35 1.85	10~30vol%	10wt% $\text{Y}_2\text{O}_3 +$ Al_2O_3	HP (1973~2173)	↑ (760→810) 3 (" → 860) (" → 840)	?	↑ (5.3→6.7) IF (" → 7.1) (" → 7.3)	1989	88)
0.6	20vol%	10wt% $\text{Y}_2\text{O}_3 +$ 5wt% Al_2O_3	HP (1700~1800)	↑ (610→750) 4	?	↑ (4.7→6.1) IF	1989	89)
0.5	10~30vol%	no addition	HIP (2000)	↓ (550→500) 4	?	↑ (3.0→4.2) IF	1990	90)
0.6	10~30vol%	6wt% $\text{Y}_2\text{O}_3 +$ 3wt% Al_2O_3	HP (1850)	↓ (700→560) 4	?	↑ (5.0→7.5) CSF	1990	91)

[†]measured at 20(wt or vol)% SiC(w), [‡]monolith, ^{‡‡}ceramic composite, *hot-pressing, **hot isostatic pressing, ***FS means flexural strength, #3 or 4 means the 3 or 4 point bending test, ##CSF, CN and IF means the controlled surface flaw, chevron notched and indentation fracture method.

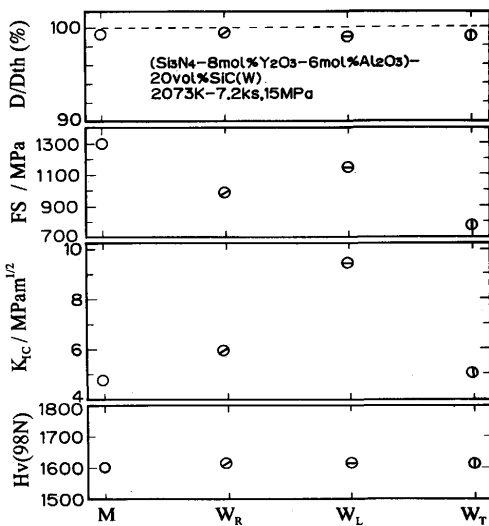


Fig. 9. D/Dth, FS(3 point bending test), K_{IC}(CSF method) and Vickers' hardness(Hv) of Si_3N_4 monolith(M) and three kinds of SiC(w)/ Si_3N_4 WRC(W_R, W_L, W_T). W_R denotes WRC in which the longer axes of SiC(w) are aligned parallel to the tensile surface of specimen or the hot-pressed plane, but randomly to the specimen axis. W_L and W_T denotes WRC in which the longer axes of SiC(w) are aligned longitudinally and transversely to the specimen axis, respectively⁹⁶⁾.

最近、 Si_3N_4 とグラファイトとの反応によりSiCが生成することに着目し、Ar雰囲気中で $\text{Si}_3\text{N}_4 +$ グラファイト(モル比; 1:1)と混合粉末成形体を1450°C~1650°Cの温度で、加熱することにより、 ϕ (0.2~0.8) $\mu\text{m} \times L$ (5~40) μm のSiC(w)をin-situ的に生成させる(chemical mixing process)

ことにより SiC (w)/ Si_3N_4 WRCを得たとする報告³²⁾¹⁰²⁾もある。

K_{IC}, FSなどの機械的性質以外の特性である、硬度、耐摩耗性、熱伝導率、電気伝導度、耐エロージョン性などはSiCの特性を反映し、一般に複合則に従って上昇する¹⁰³⁾¹⁰⁴⁾。また、摩擦係数は下がる¹⁰⁴⁾。SiC (w)の添加により、放電加工が可能となる¹⁰⁵⁾。このように、 Si_3N_4 にSiC(w)を複合させることにより、K_{IC}や高温強度ばかりでなく、耐エロージョン性、耐摩耗性が向上することは、エンジン部材などの苛酷な環境下で使用する場合の大きな利点となる。

なお、SiC(w)/ Si_3N_4 WRCは、石炭ガス化用セラミックスターピン、ディーゼルエンジン用の部品として試みられている¹⁰⁶⁾¹⁰⁷⁾。 Si_3N_4 の以外のマトリックスについては、 α/β -サイアロン¹⁰⁸⁾に20vol%のSiC(w)を添加することにより、K_{IC}および室温FSは向上し、1350°CでのFS(4点曲げ)は約395→523MPaへ向上する。その他、酸窒化ケイ素($\text{Si}_2\text{N}_2\text{O}$)についての報告があり、10vol%のSiC(w)を添加することにより、K_{IC}(IF法)とFS(3点曲げ)はそれぞれ3.0から5.7MPam^{1/2}へ、400から700MPaへ向上する¹⁰⁹⁾。

4・5 ホウ化物マトリックス

この系についての報文は少ない。TiB₂マトリックスにSiC(w)を添加(10~30vol%)すると、K_{IC}(SENB法)とFS(3点曲げ)はそれぞれ4.8から7.0MPam^{1/2}へ、450から550MPaへ向上する⁷⁹⁾。ただし、既述のSiC(w)/ムライトWRC⁶¹⁾、SiC(w)/炭化物系WRCなどの場合⁷⁹⁾⁸⁰⁾と同様に、SiC(w)添加によりTiB₂の粒成長が抑制されており(4.5→3.0 μm ⁷⁹⁾、この効果もあると思われる。

4・6 ケイ化物マトリックス

中でも MoSi_2 は高融点(2030°C)であり、高温耐酸化性に優れ、900~1000°Cの温度範囲で脆性→延性遷移を有することから、上記の SiC ならびに金属間化合物(Ni_3Al , NiAl , Ti_3Al , TiAl , Nb_3Al , Fe_3Al , FeAl など)と共に次世代のジェットエンジン材料などとして期待されている。しかし、室温ではやはり脆いため、 $\text{SiC}(w)$ を添加したWRCの研究^{110)~114)}が1985年¹¹⁰⁾から行われている。20vol%の $\text{SiC}(w)$ 添加により K_{IC} (CN法) は5.3から8.2MPam^{1/2}へ上昇し、FS(4点)は150から310MPaへ上昇する¹¹⁰⁾。 MoSi_2 に WSi_2 を固溶硬化させた $\text{MoSi}_2/\text{WSi}_2$ (50/50mol%) に $\text{SiC}(w)$ を20vol%添加したものは、1200, 1500°Cでの降伏応力が、それぞれ単体の4倍(600MPa), 8倍(63MPa)以上となる¹¹³⁾。その他、約20vol%の $\text{SiC}(w)$ 添加により、高温(1200°C)での塑性変形および粒界すべりが抑えられ、耐クリープ特性が向上する¹¹⁴⁾。

5 ウィスカーフ复合セラミックスの課題

ウィスカーフ复合の最大の目的は、既述のように、セラミックスの脆さを克服し、信頼性を高めることにある。そのためには、ウィスカーフによる強靭化の機構が究明されると共に、プロセスの改良により、ウィスカーフ添加効果を最大に發揮させることが必要である。しかし、現在のところ、その機構は必ずしも明らかとなっていないようである。例えば、FSについては、破壊の起源を考慮した解析が必要であろう。本複合セラミックスが高温構造用材料として幅広く用いられるには、 K_{IC} やFSなどの機械的性質の他、耐酸化性、疲労強度、クリープ強度、耐熱衝撃性、耐摩耗性などの諸特性についても詳細な検討が必要であるが、それらの点についての研究もまだ不十分と言えよう。そして、用いたウィスカーフの種類(メーカー、不純物、形状、直径など)、焼結助剤の種類や量、製造条件、性質(K_{IC} , FS)の評価法などが研究者によって異なっており、また同一評価法でも試験手順、試片寸法、試験条件などが異なる場合が多いことなどから、データの相互比較が困難である。セラミックスに適した部品設計技術の確立も必要である。ニアネットシェイプのものが作製できる経済的方法(例えば、射出成形→常圧焼結→HIP)の開発も必要である。そして、ウィスカーフは、現状では高価(例えば、 $\text{SiC}(w)$ の場合、約65~110千円/kg, $\beta\text{-Si}_3\text{N}_4(w)$ は約70~100千円/kg)¹¹⁵⁾であることから、今後、安価とする必要がある。

要するに、よりいっそうの強靭化の達成、設計技術と複雑形状部品の成形技術の確立、大幅な価格低減などがなされることによって、はじめて本複合セラミックスの用途は拡大すると期待される。

文 献

- 1) C.Herring and J.K.Galt : Phys. Rev., **85** (1952), p.1060
- 2) H.W.Rauch, Jr., W.H.Sutton and L.R.McCreight : Refractory Materials, ed. by J.L.Margrave, Vol.3, (1968), p. 3 [Academic press]
- 3) A.R.Bunsell : Ceramic-Matrix Composite, ed. by R. Warren, (1992), p.32 [Blackie Press]
- 4) 宗宮重行, 猪股吉三 : 炭化珪素セラミックス, (1988), p.297[内田老鶴園]
- 5) S.R.Nutt : J. Am. Ceram. Soc., **67** (1984), p.428
- 6) J.D.Birchall, D.R.Stanley, M.J.Mockford, G.H.Pigott and P.J. Pinto : J. Mater. Sci. Lett., **7** (1988), p.350
- 7) J.A.Black : Adv. Mater. Proc., **133** (1988) 3, p.51
- 8) 玉利信幸, 小倉透, 木下実, 橋端保夫 : 大阪工業技術試験所季報, **33** (1982), p.129
- 9) W.S.Cho and K.Hayashi : unpublished work, (1988)
- 10) 玉利信幸, 近藤功, 袖岡賢, 上野和夫, 橋端保夫 : 窯業協会誌, **94** (1986), p.1177
- 11) T.Kinoshita, M.Ueki and H.Kubo : Brittle Matrix Composite, ed. by A.M.Brandt et al., **2** (1989), p.270 [Elsevier Applied Science]
- 12) T.N.Tiegs and P.F.Becher : Am. Ceram. Soc. Bull., **66** (1987), p.339
- 13) S.J.Barclay, J.R.Fox and H.K.Bowen : J. Mater. Sci., **22** (1987), p.4403
- 14) M.D.Sacks, H.W.Lee and O.E.Rojas : J. Am. Ceram. Soc., **71** (1988), p.370
- 15) T.N.Tiegs and D.M.Dillard : J. Am. Ceram. Soc., **73** (1990), p.1440
- 16) W.J.Tseng and P.D.Funkenbusch : J. Am. Ceram. Soc., **75** (1992), p.1171
- 17) T.T.Meak, R.D.Blake and J.J.Petrovic : Ceram. Eng. Sci. Proc., **8** (1987), p.861
- 18) M.I.Osendi, B.A.Bender and D.L.Iii : J. Am. Ceram. Soc., **72** (1989), p.1049
- 19) 光井彰, 加藤昭夫 : 窯業協会誌, **95** (1987), p.1040
- 20) R.W.Rice : Ceram. Eng. Sci. Proc., **2** (1981), p.661
- 21) K.T.Faber and A.G.Evans : Acta Metall., **31** (1983), p.565
- 22) A.G.Evans, M.Ruhle, B.J.Dalgleshi and M.D.Thouless : Mat. Res. Symp. Proc., **78** (1987), p.259
- 23) 志波光晴, 岸輝雄 : 日本金属学会会報, **27** (1988), p.644
- 24) 井上茂男, 内山哲夫, 新原皓一 : セラミックス, **21** (1986), p.621
- 25) Y.C.Zhou, X.Chang, J.Zhou and F.Xia : J. Mater. Sci., **26** (1991), p.3914
- 26) 趙源丞, 林宏爾 : 日本セラミックス協会学術論文誌, **100** (1992), p.936
- 27) 近藤功, 朝比奈正通, 玉利信幸 : 日本セラミックス協会学術論文誌, **97** (1989), p.1424
- 28) S.A.Bradley, K.R.Karasek, M.R.Martin, H.C.Yeh and J.L. Schienle : J. Am. Ceram. Soc., **72** (1989), p.628
- 29) P.F.Becher, C.H.Hsueh, P.Angelini and T.N.Tige : J. Am. Ceram. Soc., **71** (1988), p.1050
- 30) Y.C.Zhou and F.Xia : J. Am. Ceram. Soc., **74** (1991), p.447
- 31) 趙源丞, 林宏爾 : 日本金属学会講演概要集, 第106回春期大会, (1990), p.427
- 32) S.Yamada, S.Kimura, E.Yasuda, Y.Tanabe and Y.Asami : J. Mater. Res., **3** (1988), p.538
- 33) 森利之, 荒川敏彦, 橋口慎次 : 日本セラミックス協会学術誌, **96** (1988), p.744
- 34) R.Ruh, K.S.Mazdiyasni and M.G.Mendiratta : J. Am. Ceram. Soc., **71** (1988), p.503
- 35) 西川友三; 京都工芸繊維大学 : 日本セラミックス協会, 破壊靭性測定法標準化部会提出資料1989年2月
- 36) W.L.Fourney and T.Kobayashi : ASTM STP 678, ed. by S.W. Freiman, (1979), p.47 [American Society for Testing and Materials]
- 37) 鈴木寿, 林宏爾 : 日本金属学会誌, **38** (1974), p.1013
- 38) H.Suzuki and K.Hayashi : Planseeberichte für Pulvermetallurgie, **23** (1975), p.24

- 39) 林 宏爾：粉末および粉末冶金，**23** (1976), p.1
 40) 林 宏爾, 小野村義弘：粉末および粉末冶金，**32** (1985), p.282
 41) P.W.Mcmillan : Glass Ceramics, 2th edition, London・New York・San Francisco, (1979) [Academic press]
 42) D.C.Philips, R.A.J.Sambell and D.H.Bowen : J. Mater. Sci., **7** (1972), p.1454
 43) K.M.Prewo and J.J.Brennan : J. Mater. Sci., **15** (1980), p.463
 44) 芦塚正博, 相本美德, 渡辺雅彦：日本セラミックス協会学術論文誌, **97** (1989), p.795
 45) I.Wadsworth and R.Stevens : J. Mater. Sci., **26** (1991), p.6808
 46) 芦塚正博, 上吉川誠：日本セラミックス協会学術論文誌, **100** (1992), p.541
 47) M.Yoshimura, T.Noma, N.Ogasawara and S.Somiya : J. Mater. Sci. Lett., **9** (1990), p.53
 48) Y.Kagawa, Y.Kogo and H.Hatta : J. Am. Ceram. Soc., **72** (1989), p.1092
 49) 山田恵彦：セラミックス, **24** (1989), p.300
 50) P.F.Becher and G.C.Wei : J. Am. Ceram. Soc., **67** (1984), p.C-267
 51) S.Lio, M.Watanabe, M.Matsubara and Y.Matsuo : J. Am. Ceram. Soc., **72** (1989), p.1880
 52) A.H.Ghokshi and J.R.Porter : J. Am. Ceram. Soc., **68** (1985), p.C-144
 53) T.N.Tieges and P.F.Becher : J. Am. Ceram. Soc., **70** (1987), p.C-109
 54) A.C.Solomah, W.Reichert, V.Randinella, L.Esposito and E.Toscano : J. Am. Ceram. Soc., **73** (1990), p.740
 55) R.Chaim, L.Baum and D.G.Brandon : J. Am. Ceram. Soc., **72** (1989), p.1636
 56) 玉利信幸, 田中隆裕, 近藤 功, 小瀬三郎：日本セラミックス協会学術論文誌, **99** (1991), p.370
 57) 金丸守賀, 立野常男, 日下貞司：日本セラミックス協会学術論文誌, **100** (1992), p.408
 58) J.Homeny : Ceramic-Matrix Composite, ed. by R. Warren, (1992), p.266 [Blackie Press]
 59) E.R.Billman, P.K.Mehrotra, A.F.Shuster and C.W.Beeghly : Am. Ceram. Soc. Bull., **67** (1988), p.1016
 60) S.C.Samanta and S.Musikant : Ceram. Eng. Sci. Rroc., **6** (1985), p.663
 61) 熊沢 猛, 太田滋俊, 田端英世, 神崎修三：日本セラミックス協会学術論文誌, **97** (1989), p.895
 62) P.F.Becher, T.N.Tiegs, J.C.Ogle and W.H.Warwick : Fracture Mechanics of Ceramics, ed. by R. C. Bradt *et al.*, vol 7, (1986), p.61 [Plenum Press]
 63) P.F.Becher and T.N.Tiegs : J. Am. Ceram. Soc., **70** (1987), p.651
 64) R.Ruh, K.S.Mazdiyasni and M.G.Mendiratta : J. Am. Ceram. Soc., **71** (1988), p.503
 65) 玉利信幸, 田中隆裕, 近藤 功, 小瀬三郎：日本セラミックス協会学術論文誌, **99** (1991), p.89
 66) Y.Hirata, S.Matsushita, Y.Ishihara and H.Katsuki : J. Am. Ceram. Soc., **74** (1991), p.2438
 67) K.Okada and N.Otsuka : J. Am. Ceram. Soc., **74** (1991), p.2414
 68) L.M.Russell, L.F.Johnson, D.P.H.Hasselmann and R.Ruh : J. Am. Ceram. Soc., **70** (1987), p.C-226
 69) 中村和夫, 熊沢 猛, 東 伸幸, 神崎修三：日本セラミックス協会学術論文誌, **97** (1989), p.976
 70) 中村和夫, 熊沢 猛, 大橋優喜, 平尾喜代司, 神崎修三：日本セラミックス協会学術論文誌, **100** (1992), p.1470
 71) 奥田 博, 平井敏雄, 上垣外修己共編：構造材料セラミックス, ファインセラミックステクノロジーシリーズ6, (1987), p.110 [オーム社]
 72) N.Claussen, K.L.Weisskopf and M.Ruhle : J. Am. Ceram. Soc., **69** (1986), p.288
 73) 近藤 功, 玉利信幸：大阪工業技術試験既報, **39** (1988), p.77
 74) 阿部 弘, 川合 実, 菅野隆志, 鈴木惠一郎：エンジニアリングセラミックス, (1984), p.17 [技報堂出版株式会社]
 75) 玉利信幸, 田中隆裕, 近藤 功, 小瀬三郎, 後藤浩二：日本セラミックス協会誌, **100** (1992), p.613
 76) K.Okada, N.Otsuka, R.J.Brook and A.J.Moulson : J. Am. Ceram. Soc., **72** (1989), p.2369
 77) R.N.Singh : J. Mater. Sci., **26** (1991), p.1839
 78) 酒井幹雄：セラミックス基礎化学討論会講演要旨集, (1989), p.203
 79) A.Kamiya and K.Nakano : J. Mat. Sci. Lett., **8** (1989), p.566
 80) 神谷 晶, 中野喜久男, 奥田 宏：日本セラミックス協会学術論文誌, **97** (1989), p.947
 81) K.Ueno : Bulletin of the Government Industrial Research Institute, Osaka, **35** (1984), p.58
 82) P.D.Shalek, J.J.Petrovic, G.F.Hurley and F.D.Gac : Am. Ceram. Soc. Bull., **65** (1986), p.351
 83) G.H.Campbell, M.Rühle, B.J.Dalglish and A.G.Evans : J. Am. Ceram. Soc., **73** (1990), p.521
 84) S.T.Buljan, J.G.Baldoni and M.L.Huckabee : Am. Ceram. Soc. Bull., **66** (1987), p.347
 85) T.Kandori, S.Kobayashi, S.Wada and O.Kamigaito : J. Mater. Sci. Lett., **6** (1987), p.1356
 86) R.Lundberg, L.Kahlman, R.Pompe and R.Carlsson : Am. Ceram. Soc. Bull., **66** (1987), p.330
 87) J.P.Singh, K.C.Goretta, D.S.Kupperman and J.L.Routbort : Adv. Ceram. Mater., **3** (1988), p.357
 88) E.Maeda, T.Funahashi and R.Ucimura : Proc. 1st Japan Inter. SAMPE Sympo., Nov.28-Dec.1 (1989)
 89) Y.Akimune, Y.Katano and K.Matoba : J. Am. Ceram. Soc., **72** (1989), p.791
 90) G.Pezzotti, I.Tanaka, and T.Okamoto : J. Am. Ceram. Soc., **73** (1990), p.3039
 91) H.Kodama, T.Suzuki, H.Sakamoto and T.Miyoshi : J. Am. Ceram. Soc., **73** (1990), p.678
 92) 趙 源丞, 林 宏爾：粉末および粉末冶金, **38** (1991), p.872
 93) K.Hayashi and W.S.Cho : J. Hard Mater., **3** (1992), p.325
 94) 趙 源丞, 林 宏爾：日本セラミックス学術論文誌, **100** (1992), p.936
 95) 趙 源丞, 林 宏爾：日本セラミックス学術論文誌, **100** (1992), p.1316
 96) 趙 源丞, 林 宏爾：日本金属学会誌, **56** (1992), p.1087
 97) 趙 源丞, 林 宏爾：粉末および粉末冶金, (1993), p.20
 98) L.Neergaard and J.homeny : Ceram. Eng. Sci. Proc., **10** (1989), p.1049
 99) J.Homeny and J.Neergaard : J. Am. Ceram. Soc., **73** (1990), p.3493
 100) J.Dusza, D.Sajalik and M.Reece : J. Mater. Sci., **26** (1991), p.6782
 101) 趙 源丞, 林 宏爾：粉末および粉末冶金, **40** (1993), p.16
 102) H.Wang and G.S.Fischman : J. Am. Ceram. Soc., **74** (1991), p.1519
 103) S.Wada, N.Watanabe, T.Tani and O.Kamigaito : Proc. MRS Int. Meeting on Advanced Materials, Tokyo, (1988)
 104) H.Isigaki, R.Nagata, M.Iwasa, N.Tamari and I.Kondo : Trans. ASME J. Tribol., **110** (1988), p.434
 105) 玉利信幸, 近藤 功, 上野和夫, 橋端保夫：窯業協会誌, **94** (1986), p.1231
 106) 東芝(株)：私信
 107) 松井辰珠, 小村 修, 三宅雅也：日本セラミックス協会学術論文誌, **99** (1991), p.1103
 108) Y.Akimune : J. Mater. Sci. Lett., **9** (1990), p.816
 109) S.Lio, H.Yokoi, M.Watanabe and Y.Matsuo : J. Am. Ceram. Soc., **74** (1991), p.296
 110) F.D.Gac and J.J.Petrovic : J. Am. Ceram. Soc., **68** (1985), p.C-200
 111) W.S.Gibbs, J.J.Petrovic and R.E.Honnell : Ceram. Eng. Sci. Proc., **8** (1987), p.645
 112) D.H.Carter and G.F.Hurley : J. Am. Ceram. Soc., **70** (1987), p.C-79
 113) J.J.Petrovic and R.E.Honnell : Ceram. Eng. Sci. Proc., **11** (1990), p.734
 114) K.Sadananda, H.Jones, J.Feng, J.J.Petrovic and A.K.Vasudevan : Ceram. Eng. Sci. Proc., **12** (1991), p.1671
 115) Tateho Chemical Industries Co. : Private Communication